

## **6-mavzu. Ochiq tizimlar termodinamikasi**

***Reja:***

- 1.O'zgarmas me'yorda oqish.***
- 2.Gaz va bug'larning soplidan oqib o'tishi.***
- Gaz (bug')ning maksimum sarfi.***
- 3.Bosimlarning kritik nisbati. Kritik tezlik.***
- 4. Gaz (bug')larni drossellash yoki ezi .***
- 5.Kompressorlarning sikllari.***

### **1.O'zgarmas me'yorda oqish.**

Atrof-muhit bilan modda almashinadigan termodinamik tizm ochiq tizm deyiladi. Bunday tizmlar texnik qurilmalarda keng tarqalgan. Bug' va gaz turbinalari, magistral gaz quvurlari, havo o'tkazgichlari, isitgichlar, reaktiv qurilmalar va boshqalar elementlarida gazlar va bug'larning harakatlanishi bunga misol bo'ladi. Oqimning termodinamikasini tahlil qilishda quyidagi shartlar amalga oshiriladi: oqim bir o'lchovli; termodinamik parametrlar va tezlik butun oqim kesimida doimiydir (ya'ni, ularning kesma bo'yicha o'rtacha qiymatlari hisobga olinadi); oqim statsionar, ya'ni har qanday uchastkada oqimni tavsiflovchi barcha miqdorlar vaqt ichida doimiy bo'lib qoladi, oqim uzluksizdir.

Yuqorida qabul qilingan shartlarga ko'ra o'zgaruvchan ko'ndalang kesimli quvur (truba)dan 1 sekunda oqib o'tayotgan gaz massasi quyidagi formula yordamida aniqlanadi[5]:

$$m = \frac{f_1 \cdot C_1}{v_1} = \frac{f_2 \cdot C_2}{v_2} = \frac{f_3 \cdot C_3}{v_3} = \frac{f \cdot C}{v} = const, mv = f \cdot C, \quad (6.1)$$

$m$  – 1 sekunda quvurdan oqib o'tayotgan gaz massasi, kg/s;

$f_1, f_2, f_3$  – quvur(lar)ning ko'ndalang kesim yuzalari, m<sup>2</sup>;

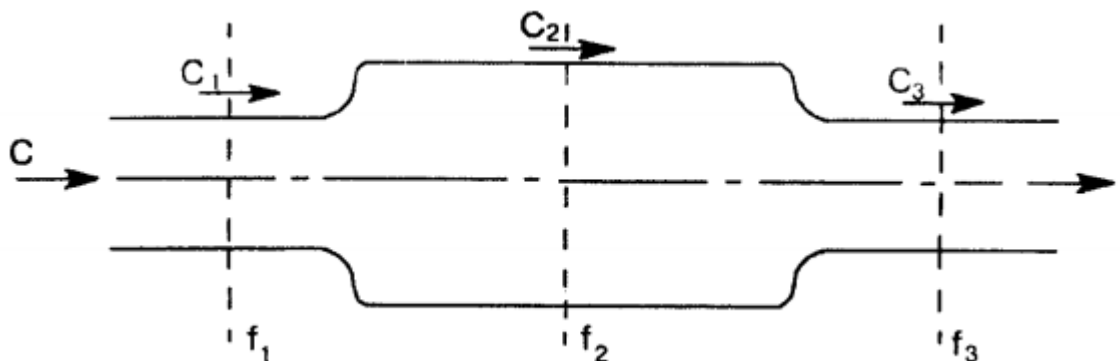
$v_1, v_2, v_3$  — ko'ndalang kesimlarda gaz solishtirma hajmlari, m<sup>3</sup>/kg;

$C_1, C_2, C_3$  — bu ko'ndalang kesimlarda gaz tezligi, m/s.

Yuqoridagi (5.1) tenglik gaz oqimining uzlusizlik yoki sidirg‘alik shartining analitik ifodasi hisoblanadi. Soddalashtirish uchun 1-rasmdagi quvurning 2 ta kesmasini tahlil qilamiz. Ma’lumki, gazning to‘liq energiyasi uning ichki energiyasi va kinetik energiyalarining yig‘indisiga teng:

$$u_1 + p_1 v_1 + \frac{C_1^2}{2} = u_2 + p_2 v_2 + \frac{C_2^2}{2}$$

bunda,  $u_1$ , va  $u_2$  — quvurning mos qirqimlarida gazning ichki energiyasi;



1- rasm. Gaz oqimining

$p_1 v_1$  va  $p_2 v_2$  mos qirqimlardagi gaz bosimi va solishtirma hajmko‘paytmalari bo‘lib, gazning itarish ishi deb yuritiladi.

Gaz entalpiyasi  $\mathbf{h}=\mathbf{u}+\mathbf{p}\mathbf{v}$  bo‘lganligi uchun

$$h_1 + \frac{C_1^2}{2} = h_2 + \frac{C_2^2}{2} \quad (6.2)$$

Demak, gaz oqimi quvurda o‘zgarmas va adiabatik bo‘lganda gaz entalpiyasi hamda kinetik energiyasining yig‘indisi o‘zgarmay qoladi.

(6.2) tenglikni biroz o‘zgartirsak, quyidagi ifoda hosil bo‘ladi:

$$\frac{C_2^2 - C_1^2}{2} = h_1 - h_2 \quad (6.3)$$

bunda,  $\frac{C_2^2 - C_1^2}{2} = l_0$  mavjud ish yoki quvurda harakat

lanayotgan gaz kinetik energiyasining ortishi;

$h_1 - h_2 = h_0$  — issiqlikning pasayishini mavjudligi.

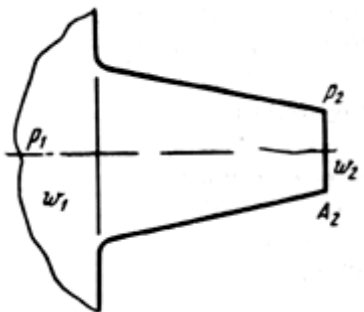
Demak, yozish mumkinki  $l_0 = -Q$ , ya'ni issiqlik dinamikasi birinchi qonuniga ko'ra ish issiqlikka teng.

## **2.Gaz va bug'larning soplidan oqib o'tishi. Gaz (bug')ning maksimum sarfi**

Soplo deb ataladigan qisqa kanallardan siqilgan ishchi gazning tugashi jarayoni katta ilmiy va amaliy qiziqish uyg'otadi. Soplodagi ishchi gazning oqimi, qoida tariqasida, tezdir va shuning uchun gaz va kanal devorlari o'rtasidagi issiqlik almashinushi ahamiyatsiz. Natijada, ishchi gazning soplidan chiqishi jarayoni adiabatik deb hisoblanishi mumkin. Ishchi gazning adiabatik muvozanat (ya'ni, yo'qotishlarsiz) katta sig'imli idishlardan birlashtiruvchi soplo orqali chiqishi holatini ko'rib chiqaymiz. Kanalning kirish qismidagi parametrlar  $p_1$   $v_1$ ,  $T_1$  bilan belgilanadi. soploning ko'ndalang kesimining chiqish qismidagi ishchi gazning bosimi  $p_2$  nashqi muhitning bosimiga teng deb faraz qilamiz (2-rasm).

(6.35.9) tenglamaga muvofiq, soplidan chiqish tezligi

$$\omega_2 = \sqrt{2(h_1 - h_2) + \omega^2} \quad (6.4)$$



2-rasm. Ishchi jismni soplidan chiqib ketishi.

Ko'pgina texnik yechimlarda maqbul bo'lgan  $w_I=0$  ekanligini hisobga olib, quyidagi tenglamani olamiz:

$$\omega_2 = \sqrt{2(h_1 - h_2)} \quad (6.5)$$

Agar  $h$  J/g da emas, balki kJ/kg da ifodalansa, u holda (6.65.20)  $\omega_2$ , m/s quyidagi ko'rinishda ifodalanadi:

$$\omega_2 = 44,7\sqrt{\Delta h} \quad (6.6)$$

Ko'pgina amaliy hisoblashlarda  $w_I=0$  ekanligini hisobga olgan holda  $\omega_2 = \sqrt{2l_0}$  teng jarayon adiabatik ekanligini hisobga olsak u holda bajarilgan ish  $l_0 = kl = \frac{k}{k-1} p_1 v_1 \left[ 1 - \left( \frac{p_2}{p_1} \right)^{\frac{k-1}{k}} \right]$  ekanligini hisobga olgan holda,  $w_I$  chiqish tezligi uchun quyidagi tenglamani olamiz (bundan buyon matnda ko'krak

chiqishidagi jism tezligining u indeksini o'tkazib yuboramiz):

$$\omega = \sqrt{2 \frac{k}{k-1} p_1 v_1 \left[ 1 - \left( \frac{p_2}{p_1} \right)^{\frac{k-1}{k}} \right]} \quad (6.7)$$

Agar kanalning chiqish qismining maydoni  $A$  gaz tezligi  $w$ , va ushbu bo'limgagi ishchi gazning solishtirma hajmi  $v_2$  ma'lum bo'lsa, u holda sopllo orqali sarflanayotgan ishchi gazning massa hisoblab topish mumkin.

$$m = \omega A / v_2 \quad m = \omega A / v_2$$

Adiabatik jarayon uchun  $p_1 v_1^k = p_2 v_2^k$ , ekanligini hisobga olsak va (6.7) tenglamani hisobga olsak, u holda.

$$m = \frac{\omega A}{v_1} \left( \frac{p_2}{p_1} \right)^{\frac{1}{k}} = A \sqrt{\frac{2k}{k-1} \frac{p_1}{v_1} \left[ \left( \frac{p_2}{p_1} \right)^{\frac{2}{k}} - \left( \frac{p_2}{p_1} \right)^{\frac{k+1}{k}} \right]} \quad (6.8)$$

Ushbu tenglamadan kelib chiqadiki, ideal ishchi gazning oqim tezligi kanalning chiqish qismining maydoniga, jisimning xususiyatlari va boshlang'ich parametrlariga ( $k$ ,  $p_1$ ,  $v_1$ ) va uning kengayish darajasiga (nisbati  $p_2/p_1$ ) bog'liq. Berilgan ishchi gaz va uning parametrlar ( $p_1 v_1$ ), shuningdek, sopllo konstruktsiyasi uchun ishchi gazning tezligi va oqim tezligi  $p_2/p_1$  nisbatiga bog'liq bo'ladi. Siz  $m = f(p_2/p_1)$  bog'liqligini chizishingiz mumkin.  $p_1$ ), bu erda  $p_2 > 0$  dan  $p_1$  oralig'igacha  $p_2$  o'zgaradi. (6.85.22) tenglama  $p_2 = p_1$  uchun  $m = 0$  va  $p_2=0$  ekanligini bildiradi.  $m_{\max}$  ni aniqlash uchun funksiyaning hosilasini olish va uni nolga tenglashtirish kerak.  $p_2/p_1$  nisbatini esa (bu yerda  $p_2$  o'zgaruvchi)  $\beta$  bilan belgilab olamiz, u holda

$$\frac{d}{d\beta} \left( \beta^{\frac{2}{k}} - \beta^{\frac{k+1}{k}} \right) = 0$$

Oddiy o'zgarishlardan so'ng biz quyidagi tenglamani olamiz:

$$\beta = \left( \frac{2}{k+1} \right)^{\frac{k}{k-1}} \quad (6.9)$$

Maksimal oqim tezligiga erishilgan  $p_2/p_1$  nisbati kritik bosim nisbati deb ataladi va  $\beta_{kp}$  bilan belgilanadi. Bir atomli gazlar uchun ( $k = 1,66$ )  $\beta_{kp} = 0,49$ ; ikki atomili uchun ( $k = 1,4$ )  $\beta_{kp} = 0,528$ ; ucha tomli gazlar uchun ( $k = 1,3$ ) va o'ta qizdirilgan suv bug'lari  $\beta_{kp} = 0,546$ . Birinchi yaqinlashishda biz  $\beta_{kp} = 0,5$  ni olishimiz mumkin.

### **3.Bosimlarning kritik nisbati. Kritik tezlik.**

Kritik bosim nisbatiga mos keladigan chiqish tezligi  $w_{kp}$ , **kritik tezlik deb ataladi**. Uni (6.7) tenglamadan  $p_2/p_1$  o‘rniga  $\beta_{kp}$  qiymatini qo‘yish orqali aniqlash mumkin:

$$\omega_{kp} = \sqrt{\frac{2k}{k+1} p_1 v_1} = \sqrt{\frac{2k}{k+1} RT_1} \quad (6.10)$$

Ishchi gazning bir sekunddagи maksimal sarfini aniqlash mumkin, agar  $p_2/p_1$  o‘rniga (6.8) tenglamaga  $\beta_{kp}$  qiymatini almashtirilsa:

$$m_{kp} = A \sqrt{\frac{2k}{k+1} \frac{p_1}{v_1} \left(\frac{2}{k+1}\right)^{\frac{2}{k-1}}} \quad (6.11)$$

(6.10) va (6.11) tenglamalardan k qiymatlarini hisobga olgan holda bir atomli gazlar uchun

biz quyidagilarni olamiz:

$$w_{kp} = 1,118\sqrt{p_1 v_1} ; m_{kp} = 0,762A\sqrt{p_1/v_1} ; \quad (6.12)$$

ikki atomli gazlar uchun

$$w_{kp} = 1,080\sqrt{p_1 v_1} ; m_{kp} = 0,685A\sqrt{p_1/v_1} \quad (6.13)$$

ko‘p atomli gazlar va o‘ta qizdirilgan bug‘ uchun

$$w_{kp} = 1,063\sqrt{p_1 v_1} ; m_{kp} = 0,666 A \sqrt{p_1/v_1} \quad (6.14)$$

Elastik jismlarning toraygan va silindrsimon kanallar orqali chiqishi bo‘yicha o‘tkazilgan tajribalar shuni ko‘rsatadiki, bosim  $\beta_{kp}$  dan  $\beta = 0$  gacha pasayganda ishchi gazning kanal orqali o‘tish tezligi doimiy bo‘lib, maksimalga teng bo‘lib qoladi (3-rasmda DK chizig‘i).).

Shunga ko‘ra, oqim tezligi doimiy bo‘lib qoladi,  $w_{kp}$  ga teng.

Adiabatik jarayon uchun

$$p_1 v^k{}_1 = p_{kp} v^k{}_{kp}$$

(6.95.23) tenglamani hisobga olgan holda, biz quyidagini olamiz:

$$v_1 = v_{kp} [2/(k + 1)]^{1/(k-1)} \quad (6.15)$$

Ushbu ifodani (6.9) ni hisobga olgan holda (6.10) tenglamaga almashtirib, quyidagini olamiz:

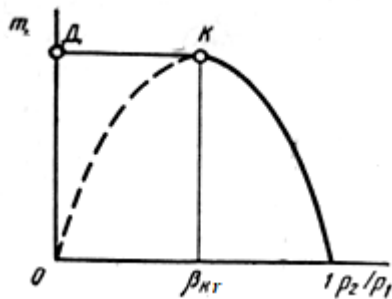
$$w_{kp} = \sqrt{k p_{kp} v_{kp}} \quad (6.16)$$

Fizika kursidan ma'lumki, (6.16) ifoda  $p = p_{kp}$  va  $v = v_{kp}$  parametrli muhitda tovushning tarqalish tezligi  $a$  qiymatini aniqlaydi.

Shunday qilib, ishchi gazning soploda oqimi paytidagi kritik oqim tezligi tovush tarqalish tezligiga teng bo'lgan kesimida gazning termodinamik parametrlar deb ataladi.

$$m = A \omega \rho = \frac{A \omega}{\vartheta} = \text{const} \quad (6.17)$$

(6.17) tenglamani  $mv = Aw$  shaklida ifodalaymiz



3-rasm. Torayuvchi sopladan oqib chiqayotgan ishchi jismning bosimlar  $p_2/p_1$  nisbatiga bog'liqlik grafigi.

Ushbu tenglamani  $m = \text{const}$  uchun differensiallash va (6.17) ga bo'lish orqali quyidagini olamiz:

$$dA/A = dv/v - dw/w \quad (6.18)$$

$pv^k = \text{const}$  adiabatik tenglamani differensiallagandan so'ng, quyidagiga ega bo'ladi:

$$\frac{dv}{v} = -\frac{1}{k} \frac{dp}{p} \quad (6.19)$$

$wdw = -vdp$ , ifodasini hisobga olgan holda, shuningdek (6.19) ni va (6.18) tenglamani shaklda ifodalaymiz.

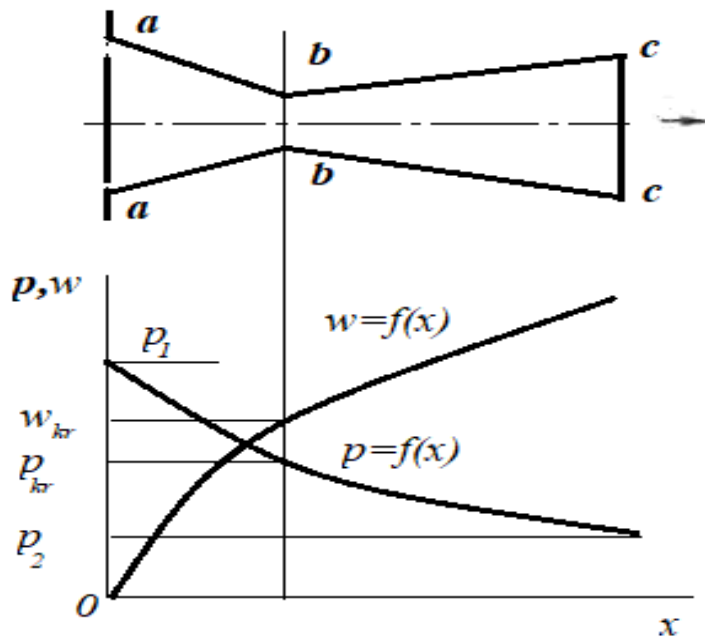
$$\frac{dA}{A} = \left( \frac{v}{w^2} - \frac{1}{kp} \right) dp = \left( \frac{w^2}{kpv} - 1 \right) \frac{dw}{w} = \left( \frac{w^2}{a^2} - 1 \right) \frac{dw}{w} \quad (6.20)$$

Eslatib o'tamiz,  $a = \sqrt{kpv}$  — tovush tarqalish tezligi.

(6.20) tenglamani tahlil qilaylik. Torayuvchi kanalda  $dA/A < 0$ . Bunda (6.20) ning o'ng tomoni manfiy belgiga ega demak,  $w < a$  ekan,  $dw/w$  ijobjiy belgiga ega. Bunday soplada tezlik  $w < a$  ga qadar oshadi.  $w = a$  bo'lganda, kritik tezlik, yuqorida aytib o'tilganidek, tovushning mahalliy tezligiga teng bo'ladi.

Isbotlash mumkinki, yaqinlashuvchi soploda gaz oqim tezligining tovush tarqalish tezligiga teng qiymatidan doimiy ravishda o'tib bo'lmaydi. Darhaqiqat, (6.20) tenglamadan ko'rinish turibdiki,  $w = a$  bo'lgan kesmada bir tomondan  $dw/w$  hosila belgisi o'zgarishi kerak, ikkinchi tomondan esa bu hosila cheksizlikka intiladi. Shunday qilib, tovushning mahalliy tezligiga teng tezlikka erishilgandan so'ng, oqim tezlashtirilgan oqimdan sekinlanish holatiga o'tadi. Shuning uchun, toraygan kanalda tovush tezligidan oshib bo'lmaydi. (6.20) tenglamadan xulosa qilish mumkinki, tovush tezligidan ( $w > a$ ) yuqori bo'lgan barcha chiqish tezligi uchun soplo profili kengayishi kerak. Agar kanalning kirish qismidagi oqim tezligi tovush tezligidan past bo'lsa, u holda kanal chiqishida tovushdan yuqori tezlikni

olish uchun ikki qismdan iborat bo'lgan soplo yaratish kerak: toraytiruvchi (chalkashtiruvchi deb ataladi), bu yerda  $w < a$ , va kengaytiruvchi (diffuzor deb ataladi), bu yerda  $w > a$ . Kanalning eng tor qismida oqim tezligi kritik tezlikka teng. Bunday kombinatsiyalashgan soplo shved muhandisi K. G. Laval tomonidan taklif qilingan va uning nomi bilan ataladi. Bunday soploring shartli chizmasi 4-rasmida ko'rsatilgan. Chizmaning ostida, soplodagi bosim va tezlikning soplodagi o'zgarishining o'z-aro bog'liqlik grafigi ko'rsatilgan.



4-rasm. K. G. Laval tomonidan taklif qilingan kombinatsiyalashgan soplo va uning pv-diagrammasi.

Oqim qattiq jiism bilan uchrashganda, uning kinetik energiyasi issiqlikka aylanadi va oqim harorati ko'tariladi.

Adiabatik teskari oqim uchun

$$dh + 0.5dw^2 = 0 \quad (6.21)$$

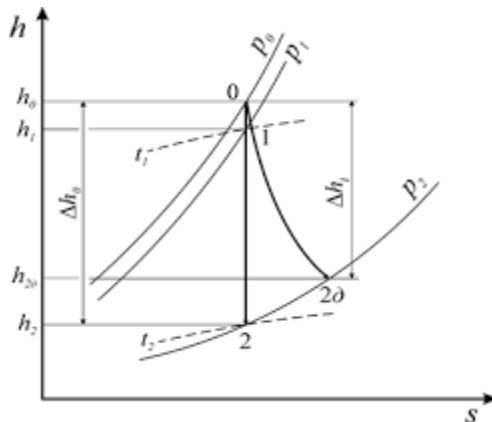
ifoda o'rini. Ideal gaz  $h=c_p T$  uchun ekanligini hisobga olsak, yozishimiz mumkin

$$c_p T + 0,5w^2 = \text{const.} \quad (6.22)$$

Agar oqim to'lilq turg'un bo'lsa ( $w = 0$ ), oqim oladigan harorat adiabatik turg'unlik harorati, tezlikning yo'qolgan nuqtasi esa nol tezlik nuqtasi deb ataladi. Tormozlash harorati

$$T^* = T + w^2/c_p. \quad (6.23)$$

Adiabatik muvozanatning chiqishi uchun  $w_2 = \sqrt{2(h_1 - h_2)}$ , bo'lgani uchun bunday masalalarni hs- koordinatalari yordamida yechish qulay. Adiyabatik teskari kengayish jarayoni 1-2 nuqtalar oralig'ida ko'rsatilgan(5-rasmga qarang) .



5-rasm. Bug'ning hs-diagrammasidagi oqib chiqishi tasvirlangan.

Haqiqiy chiqish jarayonida ishchi jism energiyasining yo'qotilish ishchi jism va kanal yuzasi oralig'dagi uyurmaviy harakatidan hosil bo'lgan ishqalanish, natijasida yuzaga keladi. Qaytarib bo'lmaydigan adiabatik kengayish jarayoni 5-rasmida  $1—2\delta$  egri chiziqlar bilan ko'rsatilgan. Bunday holda, bir xil bosim tushishi uchun  $p_1—p_2$  ,  $\Delta h = h_1—h_2$  farqi qaytariladigan oqim uchun  $\Delta h_0$  qiymatidan kichik bo'ladi. Natijada, chiqish tezligi  $w_{2\Delta} < w_2$ .  $\Delta h_0 — \Delta h = h_{2\Delta}—h_2$  farqi haqiqiy soploda yo'qotishlar mavjudligi sababli kinetik energiyaning yo'qolishini ko'rsatadi. Shunga asosan

$$\xi_c = (\Delta h_0 — \Delta h)/\Delta h_0 = 1 — \Delta h/\Delta h_0 \quad (6.24)$$

energiya yo'qotish koeffbsienti deb ataladi.

Ko'rinib turibdiki, oqimning haqiqiy tezligi

$$w_{2\Delta} = 44,7 \sqrt{(1 - \xi_c) \Delta h_o} \quad (6.25)$$

(1—  $\xi$ )ni qiymat,  $\varphi_c^2$  bilan belgilanadi, bu erda  $\varphi_c$  - tezlik koeffitsienti, u holda

$$w_{2\Delta} = 44,7 \varphi_c \sqrt{\Delta h_o} \quad (6.26)$$

$\varphi_c$  qiymati 0,94-0,98 oralig'ida.

#### 4. Gaz (bug')larni drossellash yoki ezish

Tajriba shuni ko'rsatadiki, agar oqim yo'lida toraygan qism shaklida mahalliy qarshilik mavjud bo'lsa (6-rasm), quvurning bu joyida gaz bosimining kamayishi sodir bo'ladi, lekin gaz tashqi ish bajarmaydi. Oqim yo'nalishi bo'yicha bosimning pasayishi bilan bog'liq bo'lgan oqimning kanaldagi mahalliy qarshilik orqali harakat qilganda sodir bo'ladigan jarayon drossel deb ataladi. Dossellash issiqlikni tashqi tomondan o'tkazib bermasdan (olib tashlamasdan) va tashqi ish bajarmasdan davom etadi. Bu jarayon qaytmas va entropiyaning ortishi bilan birga kechadi.

Adiabatik jarayon uchun (6.35.9) ifoda o'rini

$$h_1 - h_2 = 0,5 (\omega_2^2 - \omega_1^2)$$

bu erda  $h_1$  va  $h_2$  1-1 va 2-2 bo'limlardagi ishchi gazning entalpiyalari.

Kanalning har bir uchastkasida massa oqimi o'zgarmasligi va torayishdan oldingi va keyingi oqim uchastkasining maydonlari teng bo'lganligi sababli oqim tezligi sezilarli darajada o'zgarmaydi.

$$h_1 = h_2 \quad (6.27)$$

ya'ni gaz yoki bug'ning adiabatik drossellanishi bilan uning entalpiyasi drosseldan oldingi va keyin bir xil qiymatga ega bo'ladi.

Ideal gaz uchun  $h_2-h_1 = c_p(T_2-T_1)$ , bu toraygan qismdan oldin ham, keyin ham ideal ishchi gaz haroratining doimiyligini ko'rsatadi.

Haqiqiy gazlar va bug'lar uchun drossellash jarayonida harorat bosimning o'zgarishiga qarab o'zgaradi:

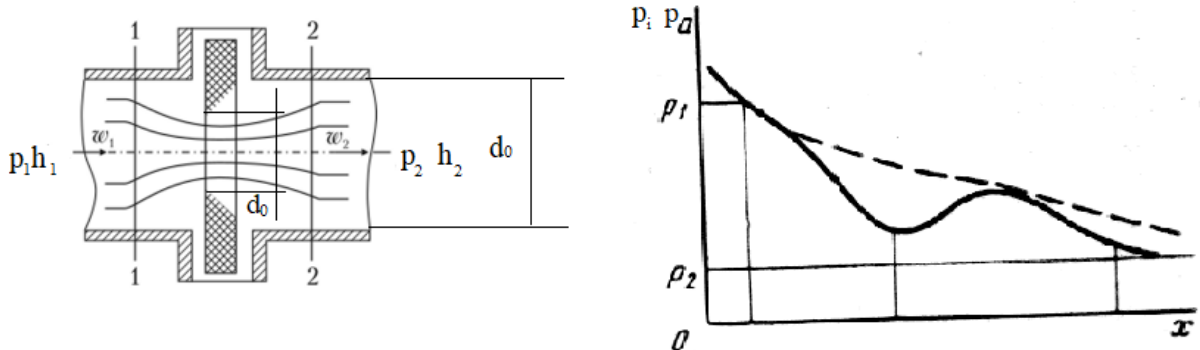
$$\alpha = \left(\frac{\delta T}{\delta P}\right)_h \quad (6.28)$$

Bu erda  $\alpha$  - adiabatik drossellik koeffitsienti yoki differensial chok effekt koeffitsienti.

Adiabatik drosselatsiya natijasida ishchi gaz haroratining o'zgarishi hodisasi Joul-Tomson effekti deb ataladi.

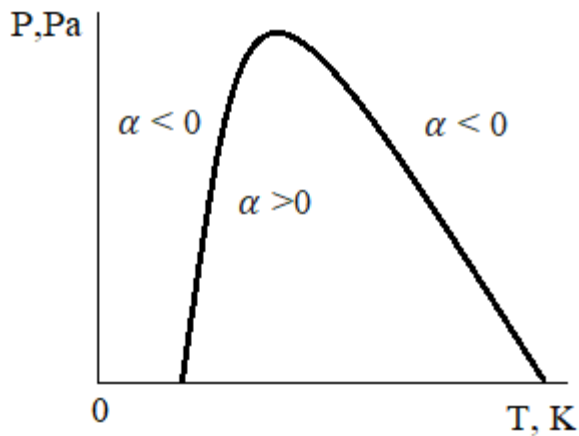
Barcha holatlarda drossel bilan  $dp < 0$  bo'lganligi sababli,  $dT$  ning o'zgarishi belgisi a belgisiga bog'liq. Agar  $\alpha > 0$  bo'lsa,  $dT < 0$ , ya'ni drossellash vaqtida ishchi gaz sovutiladi. Bu hodisa musbat Joul-Tomson effekti deb ataladi.

$\alpha < 0$   $dT > 0$  bo'lganda, ya'ni drossellashda ishchi gaz qiziydi - manfiy Joul-Tomson effekti.  $\alpha = 0$ ,  $dT = 0$  da, ya'ni drossellash natijasida ishchi suyuqlik o'z haroratini o'zgartirmaydi. Ishchi gazning holatiga mos keladigan harorat adiabatik drosselda o'zgarmasligiga haroratning o'zgartirish deyiladi. pT-diagrammadagi harorat o'zgartirish nuqtalarining joylashuvi o'zgartirish egri chizig'ini hosil qiladi. Bu chok effektining ijobiy va salbiy qiymatlari oralig' ajratib turadigan chiziq.



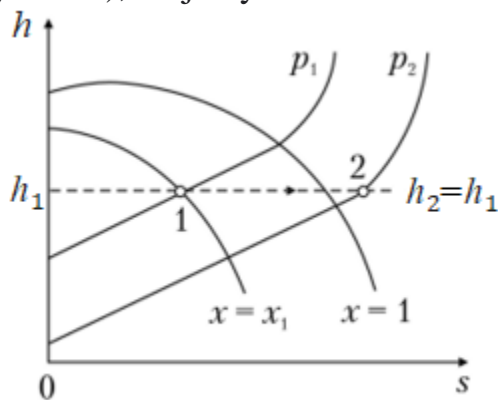
6-rasm. Quvur bo'yicha gaz oqimining drossellash jarayoni chizmasi.

Drossellash jarayoni qaytarilmas bo'lgani uchun uni  $T_s$  va  $h_s$  koordinatalarida faqat shartli ravishda tasvirlash mumkin. Ko'pincha ular hs-diagrammada drossel jarayoni tahlilidan foydalanadilar (8-rasm). Drossellash (1-2-jarayon) bug'ning harorati pasayadi, nam bug' quriydi va o'ta qizib ketadi. Ta'riflangan jarayon past va o'rta bosimli bug' uchun amal qiladi, ammo qishloq xo'jaligi ishlab chiqarishida aynan shu bug' ishlatiladi.



7-rasm. pT-koordinatalarining tez o'zgarishini ko'rsatuvchi egri chiziq Drossellash paytida ishchi gazning bosimi pasayadi va shuning uchun bu jarayon amalda qayta tiklanmaydigan yo'qotishlarga olib keladi (turbinaning rotoriga bug' kiritilganda dvigatel silindrlarini to'ldirish jarayonida bosim yo'qotishlari, gaz va bug' trubalarida yo'qotish, va boshqalar.). Shu bilan birga, ko'plab texnik

muammolarni hal qilishda drossellash jarayonining xususiyatlaridan foydalaniadi. Keling, ba'zi misollar keltiraylik. Bug' elektr stantsiyalarining ishlashini tartibga solishda bug' drossellanadi. Chunki, bu holda, mavjud issiqlik tushishi bilan  $h_1-h_2$  kamayadi, bu dvigatearning texnik ishini pasayishiga olib keladi. Drossellash usuli karbyuratorli ichki yonish dvigatellarida gazlarning boshqarish qo'llaniladi. Drossellash paytida ishchi gazning (suyuqlikning) harorati pasayganligi sababli (agar chok effekti ijobiy bo'lsa), bu jarayon sovutish texnikasida qo'llaniladi.

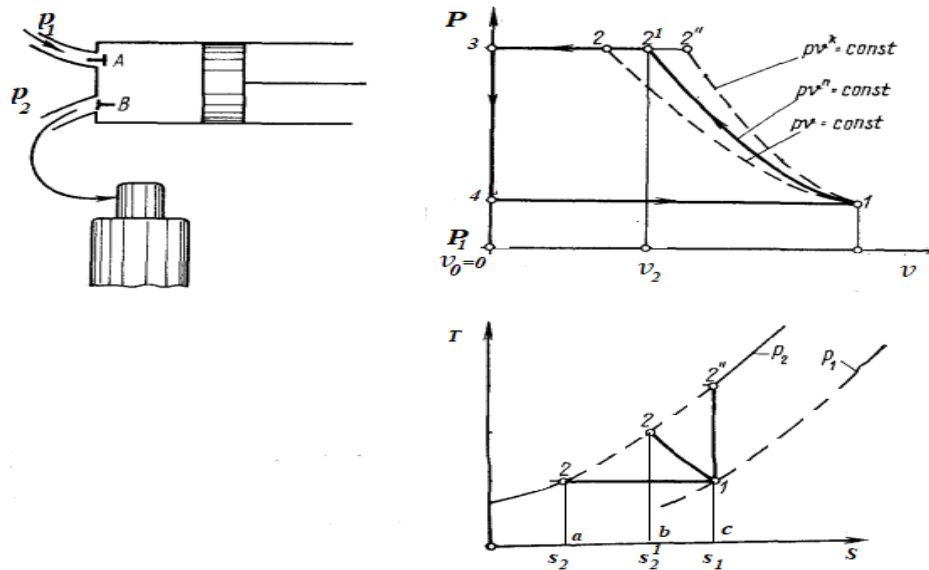


8-rasm. Suv bug'inining drossellash jarayonidagi hs-diagrammasi

## 5. Kompressorlarning sikllari

Kompressor - bu gaz va bug'larni siqish uchun mo'ljallangan qurilma. Konstruktiv xususiyatlariga ko'ra kompressorlar ikki guruhga bo'linadi. Birinchi guruhga porshnli va aylanuvchi kompressorlar kiradi. Ikkinci guruh markazdan qochma va eksentrikli kompressorlardan iborat bo'lib, ularda gazni siqish ikki bosqichda amalga oshiriladi. Birinchi bosqichda gazga ma'lum tezlik beriladi, ikkinchi bosqichda esa oqimning kinetik energiyasi bosim energiyasiga aylanadi. Ushbu siqish qarshi kompressorlarida ham qo'llaniladi. Turli dizayndagi kompressorlar ularda sodir bo'ladigan ekvivalent termodinamik jarayonlar bilan

tavsiflanadi. Qishloq xo'jaligi ishlab chiqarishida eng keng tarqalgan porshenli kompressordagi jarayonlarni tahlil qilaylik.



9-rasmda bir bosqichli porshenli kompressorning shartli chizmasi va bosimning  $pV$ ,  $Ts$ -koordinatalarda .

9-rasmda bir bosqichli porshenli kompressorning shartli chizmasi va bosmning  $pV$ -koordinatalardagi silindrini ishchi gazning o'zgaruvchan hajmiga bog'liqligi (ya'ni, tirsakli valning bir martta aylangandagi porshenning bosip o'gan yo'li) ko'rsatilgan. porshen chapdan o'ngga o'tganda, gaz so'rish klapan *a* orqali mashinaning silindriga kiradi. Diagrammada silindriga so'rish chiziq 4-1 bilan ifodalanadi. Porshenning teskari harakati vaqtida so'rish klapanlari yopiladi va gaz  $p_2$  bosimiga yetguncha 1-2 chiziq bo'ylab siqiladi.  $P_2$  bosimida chiqarish klapon *b* ochiladi va Porshenning o'ngdan chapga keyingi harakati bilan gaz kompressor silindridan itarib chiqarish (izobara) jarayoni (2-3 jarayon). Porshen chap holatining ohiriga yetganda, chiqarish klapon yopiladi, kirish klaponi ochiladi va jarayon takrorlanadi.

Shuni ta'kidlash kerakki, faqat 1-2 siqish paytida gazning massasi doimiy bo'lib qoladi. Shuning uchun pv-diagrammada ishchi gaz miqdori o'zgarib turadigan so'rish 4-1 va 2-3 silindridan qisilgan gazni itarib chiqarish (izobara) jarayoni tasvirlangan. 5.11-rasmda turli xil siqish jarayonlari ko'rsatilgan: izotermik 1-2, politropik 1-2' va adiabatik 1-2". Amaliy siqish ko'rsatkichi  $n=1,08\dots 1,22$  bo'lган politrop bo'ylab amalga oshiriladi, ya'ni politrop izoterm va adiaba ( $1 < n < k$ ) o'rtasida joylashgan.

Kompressorning termodinamik tahlilining vazifasi berilgan dastlabki va yakuniy parametrlar uchun kompressor sarflagan ishni  $3_1$  aniqlashdan iborat. Ideal kompressorda ishlaydigan gazni siqish ishi

$$l_k = l_{4-1} - l_{1-2} - l_{2-3_1}$$

bu yerda  $l_{4-1}=p_1v_1$  va  $l_{2-3}=p_2v_2$ .

politrob jarayonda bajariladigan ish tenglamaga muvofiq

$$l_{1-2} = -\frac{p_1 v_1}{n-1} \left[ 1 - \left( \frac{p_2}{p_1} \right)^{\frac{n-1}{n}} \right]$$

Binobarin, politropik jarayon uchun bizda mavjud bo'lган

$$l_{k_{\text{пол}}} = p_1 v_2 + \frac{p_1 v_1}{n-1} \left[ 1 - \left( \frac{p_2}{p_1} \right)^{\frac{n-1}{n}} \right] - p_2 v_2 = -\frac{n}{n-1} p_1 v_1 \left[ \left( \frac{p_2}{p_1} \right)^{\frac{n-1}{n}} - 1 \right]. \quad (6.295.40)$$

Kompressorning adiabatik jarayonda ishlashi ifodasini (6.29) tenglamadan  $n$  ni  $k$  bilan almashtirish orqali olish mumkin:

$$l_{k_{\text{ад}}} = -\frac{k}{k-1} p_1 v_1 \left[ \left( \frac{p_2}{p_1} \right)^{\frac{k-1}{k}} - 1 \right]. \quad (6.30)$$

Izotermik	siqilish	ishi	uchun
	$\ell = p_2 v_2 + \int_{v_2}^{v_1} p v - p_1 v_1$		

Izotermada  $p_1 v_1 = p_2 v_2$  bo'lganligi uchun:

tenglamani hisobga olgan holda va izotermik jarayon uchun  $p_1 v_1 = p_2 v_2$  ekanligini hisobga olib, kompressor ishining ifodasini olamiz.

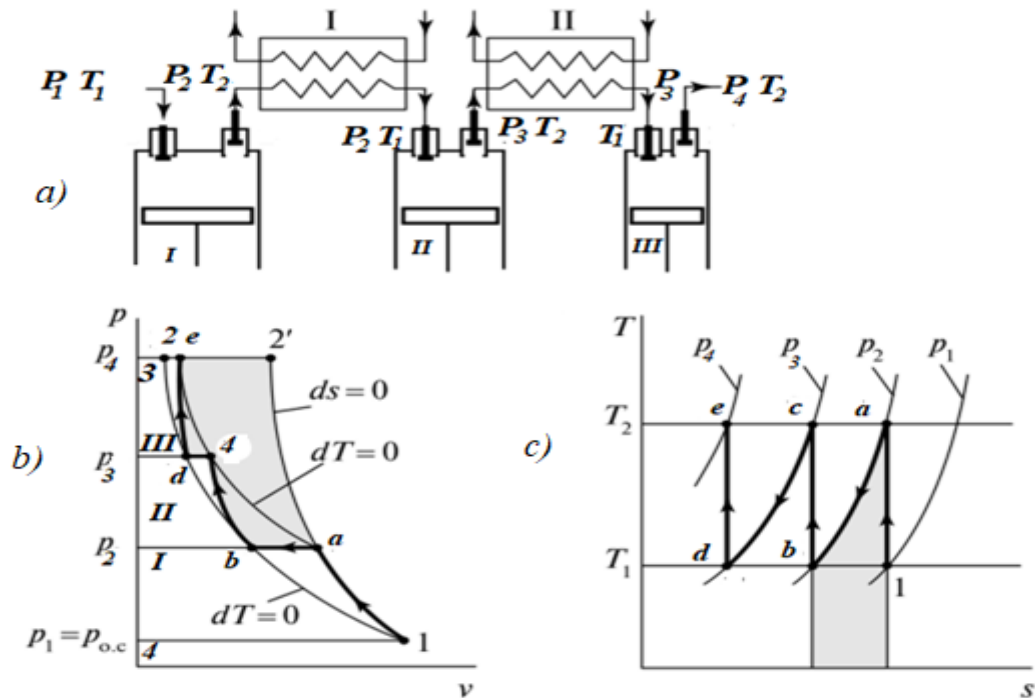
$$l_{kuz} = RT_1 \ln \frac{p_2}{p_1} = p_1 v_1 \ln \frac{p_2}{p_1} \quad (6.31)$$

Ts-koordinatalari (10-rasmga qarang) bir bosqichli kompressorda ishchi gazni siqish jarayonlarini ko'rsatadi: 1-2" - adiabatik, 1-2' - politropik va 1-2 - izotermik. 9-rasmdan kelib chiqadiki, izoterm bo'ylab siqilganda 4-1-2-3 maydoni eng kichik bo'ladi va shuning uchun kompressor tomonidan sarflangan ish minimal bo'ladi. Shuning uchun kompressorda izotermik siqishni qo'llash energetik jihatdan eng ko'p foydali.

**Ko'p bosqichli siqish.** Bir bosqichli (bir silindrli) kompressorda siqish nisbati  $\varepsilon = p_2 / p_1$  odatda 6...8 dan oshmaydi. Agar gazni yuqori bosimga siqish kerak bo'lsa, ko'p bosqichli kompressorlar qo'llaniladi (10-rasm). Siqish bosimining oshishi siqilish oxirida haroratning oshishiga olib keladi, uning qiymati texnik maqsadlar uchun ruxsat etilgan qiymatlardan oshishi mumkin. Ko'p bosqichli kompressorlarda oldingi bosqichda siqilgan gazni sovutishni ta'minlaydigan siqish bosqichlari orasiga issiqlik almashinuvchilari o'rnatiladi. Uch bosqichli kompressorda siqish diagrammasi 10-rasmda ko'rsatilgan, b. Birinchi silindrda siqilish 1-a politrop bo'ylab sodir bo'ladi, shundan so'ng gaz oraliq sovutgichga kiradi, u erda u  $T_1$  haroratgacha (nazariy jihatdan doimiy bosimda)

sovutiladi (*a-b* jarayon). Sovutgichdan so'ng gaz ikkinchi bosqichga o'tadi va *b-c* politrop bo'y lab siqiladi, so'ngra u *c-d* izobar bo'y lab  $T_1$  haroratgacha sovutiladi, so'ngra *d-e* politrop bo'y lab kompressorning uchinchi bosqichida siqiladi. Agar siqish bir bosqichli kompressorda 1-2' chiziq bo'y lab amalga oshirilgan bo'lsa, sarflangan ish hajmi 4-1-2'-3 maydon bilan belgilanadi. Havoning oraliq sovishi tufayli ishning qiymati *a-2'-e-d-c-b-a* maydoniga teng (10-rasm, *b* ga qarang).

5.13-rasm, *c* da *1-a*, *b-c* va *d-e* chiziqlar Ts-koordinatalarida birinchi, ikkinchi va uchinchi kompressor silindrlaridagi politropik siqilish jarayonlarini, *a-b* va *c-d* chiziqlar esa 1-chi sovutgichlarda mos ravishda izobar gazni sovutish jarayonlarini ifodalaydi. va 2-bosqichlar. *A-6* va *c-d* egri chiziqlari ostidagi soyali joylar sovutgichlardan chiqarilgan issiqlik miqdorini aniqlaydi.



10-rasm. Uch bosqichli kompressorning shartli chizmasi va pv, Ts-koordinatalarida.

Haqiqiy sovutilmagan kompressoring samaradorligi qaytariladigan adiabatik siqish laddagi nazariy ishning haqiqiy kompressorda 1 kg gazni siqish uchun sarflangan ish  $l_k$  ga nisbatiga teng bo'lgan adiabatik samaradorlik  $l_{ad}$  bilan aniqlanadi:

$$\eta_{ad} = \frac{l_{ad}}{l_k} \quad (6.32)$$

$\eta_{ad}$  qiymati 0,7 dan 0,9 gacha o'zgaradi.

Sovutilgan kompressorlarning ishlashini baholash uchun izotermik samaradorlik qo'llaniladi, bu  $l_{iz}$  izotermik siqish paytida nazariy ishning  $l_K$  ishiga nisbatiga teng;

$$\eta_{iz} = \frac{l_{iz}}{l_k} \quad (6.33)$$

Kompressor mexanizmlarida ishqalanish yo'qotishlari  $\eta_m$  mexanik foydali ish koeffitsienti bilan hisobga olinadi. Adiabatik yoki izotermik foydali ish koeffitsienti va mexanik foydali ish koeffitsienti orqali kompressoring effektiv foydali ish koeffitsienti  $\eta_e$  qiymatini aniqlaydi.

$$\eta_e = \eta_{ad}\eta_M \text{ va } \eta_e = \eta_{iz}\eta_M. \quad (6.34)$$

### ***Nazorat savollari va topshiriqlar***

1. Ochiq termodinamik tizimlarining aniqlanishini ifodalang va amaliyotdan misollar keltiring.
2. Oqim uchun termodinamikaning birinchi qonuni tenglamasini keltirib chiqaring va uning har xil yozilishlarini keltiring.
3. Texnikaviy va keitirilgan ish nima? Keltirilgan ishning geometrik interpretatsiyasini bering va bu ishning politropik va adiabatik jarayonlar uchun qanday aniqlanishini ko'rsating.
4. Qisqa kanallarda ishchi jism oqishida uning massaviy sarfi tezligi uchun ifodani keltirib chiqaring. Bu tenglamalar tahlilini bajaring.

5. Bosimlar kritik nisbati, kritik tezlik, ishchi jismning maksimal massaviy sarfi nimani bildiradi? Torayuvchi soplidan oqayotgan ishchi jismning kritik tezligi va maksimal sarfi uchun ifodalami yozing.
6. Kritik tezlik chiqish joyidagi tovush tezligiga teng ekanligini ko‘rsating. Tezlik tovush tezligidan past bo‘lganda kanal torayuvchi bo‘lishi kerakligini, tezlik tovush tezligidan yuqori bo‘lganda kanal kengayuvchi bo‘lishligini isbotlang.
7. Adiabatik to ‘xtalish harorati nimani bildiradi?
8. Oqimning haqiqiy tezligi qanday aniqlanadi?  $hs$  — diagramma yordamida adiabatik qaytar va qaytmas oqimlar jarayonini tahlil qiling. Energiya yo'qotish koeffitsiyenti nimani bildiradi va uning qiymati qanday aniqlanadi?
9.  $\frac{p_2}{p_1} < \beta_{kp}$  nisbatda bug‘ oqimi uchun aniq masalani  $hs$  — diagramma yordamida yeching. Kanalning eng tor va chiqish kesimida oqim jarayonini hisoblash tavsiflarini aniqlang.
10. Drossellanish va adiabatik drossellanish koeffitsiyenti aniqlanishini keltiring. Joul-Tomson samarasi nimani bildiradi? Inversiya egri chizig‘ini tahlil qiling. Texnikada drossellanish ishlatalishiga misollar keltiring.
11. Kompressor nima? Uning tavsiflarini keltiring. Politmpik, adiabatik va izotermik siqishda kompressor ishi uchun ifodalami keltiring.
12.  $pV-Ts$  diagrammalarda ko‘p bosqichli kompressoming siqish jarayonini tahlil qiling. Ko‘p bosqichli siqishntng bir bosqichligiga nisbatan avzalliklarini ko‘rsating.